## 技術論文

# 人工的に合成したZn系腐食生成物膜のイオン選択透過性

## Ion Permselectivity of Artificially Synthesized Zinc Corrosion Product Films

齊藤完<sup>\*</sup> Mamoru SAITO 德 田 公 平 Kohei TOKUDA 下 田 信 之 Nobuyuki SHIMODA

#### 抄 録

#### Abstract

Zinc hydroxychloride  $(Zn_5(OH)_8Cl_2 \cdot H_2O)$  is well-known as a typical corrosion product of zinc coated steel sheets. We evaluated zinc hydroxychloride's transport number of chloride ion to study barrier effects on permeation of corrosion factor. Zinc hydroxychloride was formed into the semipermeable membrane with precipitation reaction between zinc ion and hydroxide ion. We measured its membrane potential in  $0.001\,\mathrm{M}{\sim}0.1\,\mathrm{M}$  potassium chloride solution. As the result of membrane potential measurement, we found that the ion permselectivity of the film was anionic. And its transport number of chloride ion was 0.58, smaller than that of iron (III) oxide (0.96). Since, it is possible that zinc hydroxychloride's barrier effect on permeation of corrosion factor is high.

#### 1. 緒 言

容易に腐食する鋼材を防食する目的で、Zn系めっき鋼板は自動車車体、家電及び建材等で幅広く使用されている。

図1に、一般的にこれまで報告されている Zn 系めっき 鋼板の腐食機構を示す  $^{1)}$ 。 Zn 系めっき鋼板には3種類の防食機構が備わっており、(1) めっき層による腐食因子からのバリア効果、(2) めっき層と下地鋼板との異種金属接触腐食による犠牲防食作用、(3) めっき層の腐食生成物による腐食抑制効果が知られている  $^{2)}$ 。

3種類の防食機構の内、Zn-11%Al-3%Mg-0.2%Si合金めっき鋼板(SD)は、めっき成分として Zn 以外の合金元素を添加されることで、腐食因子の透過に対するバリア効果があると言われる塩基性塩化亜鉛( $Zn_s(OH)_sCl_2\cdot H_2O$ )が、酸化亜鉛(ZnO)に分解せず安定化することにより、耐食性が向上すると言われている3。しかし、塩基性塩化亜鉛のどの特性(イオン選択透過性、電気抵抗、緻密さ等)が最もバリア効果に作用するかは明らかになっていない。例

えば、塩基性塩化亜鉛のイオン選択透過性を調べることで、腐食に影響する  $Cl^-$ の通りやすさ(輸率)を評価できる。過去に Fe の腐食生成物のイオン選択透過性を評価した結果、 $Cl^-$ の輸率が大きいことが分かり、バリア効果が小さいことが明らかになった  $^{4.5}$ 。腐食生成物の  $Cl^-$ の輸率が大

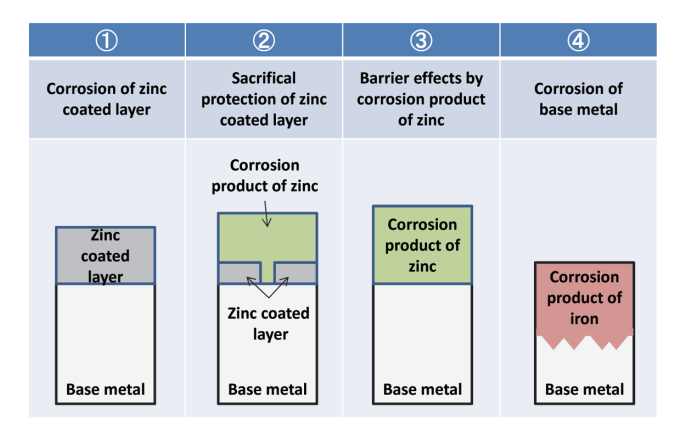


図1 Zn 系めっき鋼板の腐食モデル Corrosion model of zinc coated steel sheets

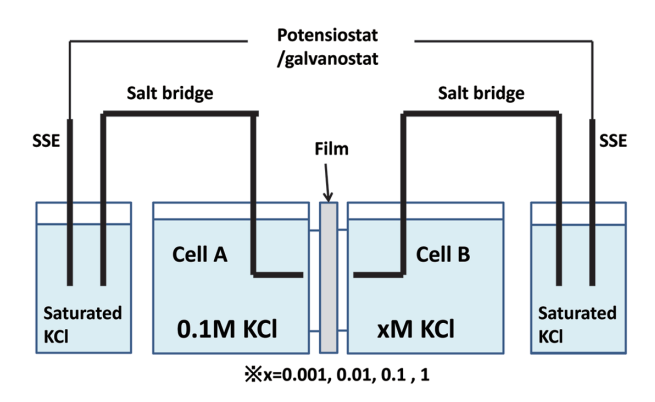


図2 膜電位測定装置の模式図 Schematic diagram of membrane potential measurement

きいと、より多くの CI<sup>-</sup>が下地鋼板に到達し、下地鋼板の 腐食が一層促進すると考えられる <sup>4,5)</sup>。 CI<sup>-</sup>の輸率は膜電位 を測定することで評価できる。

図2に膜電位測定装置の模式図を示す。また,式(1)に 膜電位の理論式を示す<sup>4)</sup>。

$$\Delta \varphi = \varphi_B - \varphi_A = (t^+ - t^-) (RT/F) \ln (C_B/C_A)$$
 (1)

 $\Delta \varphi$ :膜電位、 $\varphi_A$ ,  $\varphi_B$ :セル A 及び B の電位、 $t^+$ :カチオンの輸率、 $t^-$ :アニオンの輸率( $t^++t^-=1$ )、R:気体定数、T:温度、F:ファラデー定数、 $C_A$ 、 $C_B$ :セル A 及び B の水溶液の電解質の濃度

膜電位は、膜の両端で水溶液中の電荷バランスが崩れたとき発生する。膜電位の絶対値はイオン選択透過性の大きさを決定し、膜電位の符号はアニオンもしくはカチオンが膜を透過するか決定する。また、膜電位の値からアニオンとカチオンの輸率を算出することができる。すなわち、塩基性塩化亜鉛の膜電位の絶対値、符号、CI-の輸率から、CI-の透過性を判断することができ、腐食生成物の防食機構への寄与を評価することができる。本研究では、塩基性塩化亜鉛のバリア効果を検討するために、膜電位を測定した。

#### 2. 実験方法

#### 2.1 試料

塩基性塩化亜鉛の膜電位を測定するために、塩基性塩化亜鉛の膜を準備した。化学沈殿法を用いて半透膜中に塩基性塩化亜鉛を形成させた。図3は試料の作製に使用したセルの模式図を示す。セル(i)とセル(ii)の間にセロハン半透膜(ケニス(株)製M-5)を挿入した。セル(i)は0.5MZnCl2、セル(ii)は0.1MNaOHで満たし、72時間保持してZn²+を半透膜中に拡散させて化合物を形成した(1st step、以降この膜をZC-1と称す)。セル(i)とセル(ii)の溶液を排出後、水溶液を2MZnCl2に変更して、さらに72時間保持した(2nd step、以降この膜をZC-2と称す)。試料は作製後、純水で3回洗浄し、3時間以上大気乾燥させた。X線回折(XRD:Rigaku社製RINT1500、CuKα線を使用)でZC-1とZC-2の半透膜内に形成した化合物の構成物を同定した。また、

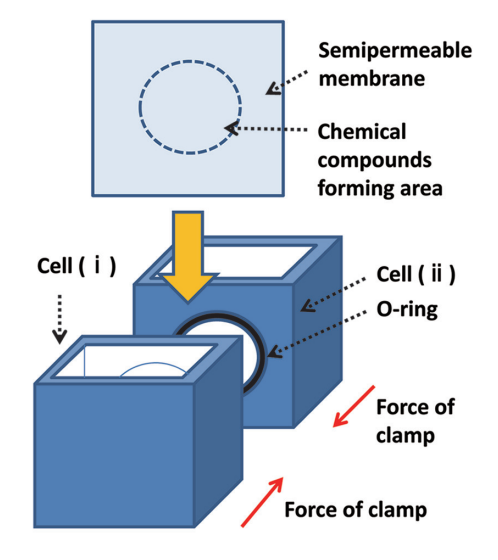


図3 擬似錆膜の作製装置 Chemical compound film making equipment

膜の緻密度を評価するために、膜をエポキシ樹脂に埋め込み、ばふ研磨  $1\mu$ m まで研磨して走査型電子顕微鏡(SEM)(JEOL 製 JED-2300) 観察した。

#### 2.2 膜電位測定

図2中のセルAとセルBをKCI水溶液で満たした。セルAのKCI水溶液の濃度を0.1M, セルBのKCI水溶液の濃度を0.001M から1M に変化させ,膜電位を測定した。KCI水溶液は1回測定毎に交換した。測定はポテンシオ/ガルバノスタット(Solartron 社製 1287 型)を使用し,測定値は試料浸漬から10分後の値を採用した。比較材として,化合物を形成させていない前記半透膜とカチオン選択透過性を示す膜(デュポン(株)製N-112)を用意した。その後,得られた膜電位を式(1)に代入して, $CI^-$ の輸率を求めた。

## 3. 実験結果と考察

#### 3.1 膜の解析

図4に ZC-2 の外観写真と断面の SEM 写真を示す。半透膜の内部に緻密な化合物が形成した。化合物の厚さは約50 μm だった。

図 5 に膜の XRD 結果を示す。ZC-1 の回折ピークから、水酸化亜鉛( $Zn(OH)_2$ : Joint Committee for Powder Diffraction Standards (JCPDS) カード No. 38-0385)と酸化 亜鉛(ZnO: JCPDS カード No. 36-1451)を同定した。ZC-2 では塩基性塩化亜鉛( $Zn_5(OH)_8Cl_2\cdot H_2O: JCPDS$  カード No. 07-0155)を同定した。以上の結果より、ZC-1 は、水酸 化亜鉛と酸化亜鉛の混合物の膜であること,ZC-2 は塩基性塩化亜鉛の膜であることが判明した。

図 6 に、Zn の pH-pCl 図を示す %。1st step で使用した 0.5 MZnCl $_2$  の pH は約 5.4, pCl は約 0.0, 0.1 MNaOH の pH は約 13, pCl は無限小であり、1st step 中で両者が混ざり合う半透膜の中心付近の pH は  $12 \sim 13$  程度,pCl は  $0 \sim 1$  程

度と推察され(図6中の"lst step"の領域)この領域で安定な水酸化亜鉛と酸化亜鉛が形成したと考えられる。同様に 2nd step で使用した 2MZnCl $_2$ の pH は約 4.7、pCl は約-0.6(図6中の"2nd step"の領域)であり、塩基性塩化亜鉛が安定なため、水酸化亜鉛と酸化亜鉛の混合物が分解し、新た

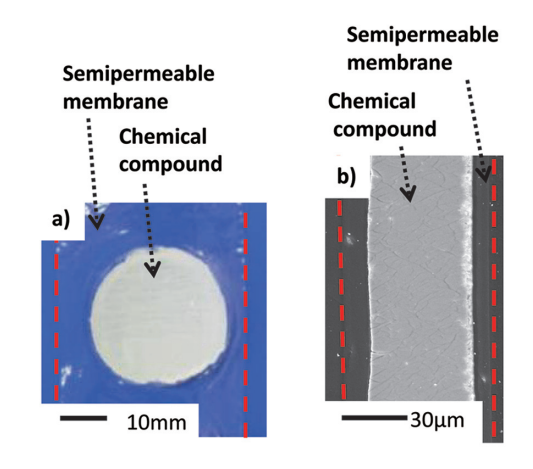
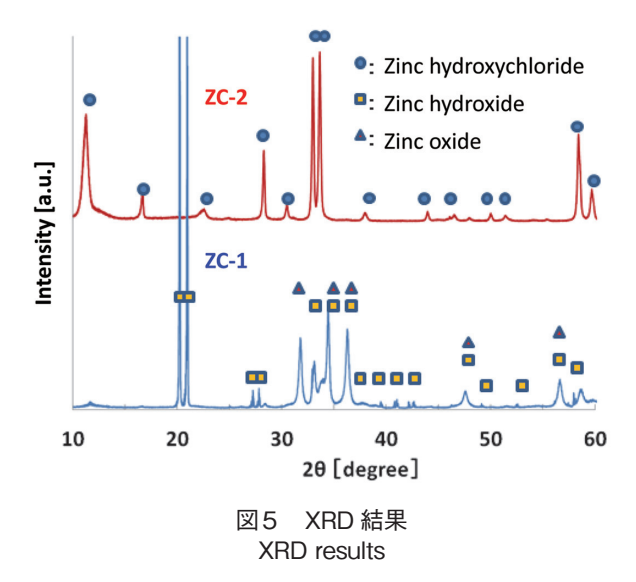


図4 a) ZC-2 の外観 b) ZC-2 の断面 a) Appearance of ZC-2 b) ZC-2 cross-section



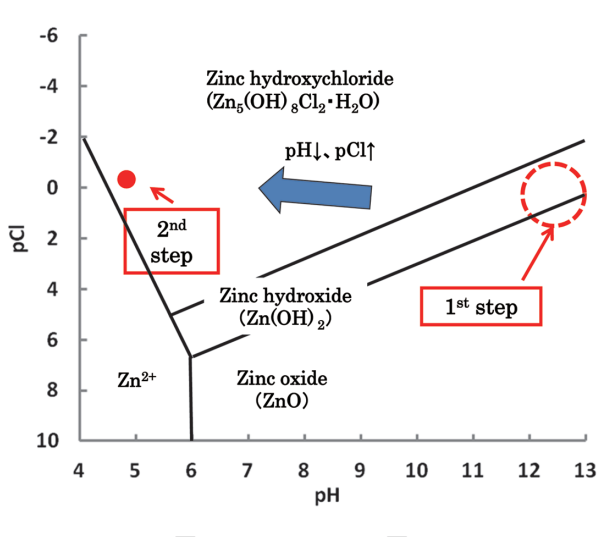


図6 ZnのpH-pCl図<sup>6)</sup> pH-pCl diagram of zinc

に塩基性塩化亜鉛に合成したと考えられる。

当初 1st step で半透膜中の環境を塩基性塩化亜鉛の安定 領域にすることで塩基性塩化亜鉛の形成を試みたが、化合 物が半透膜の外に形成してしまうため膜状の試料を得るこ とができなかった。そのため、作製手法を2段階にし、半 透膜中に形成した化合物を塩基性塩化亜鉛に変化させるこ とで目標の化合物膜を得た。

#### 3.2 膜電位測定

図7に膜電位と式 (1) 中の  $C_B/C_A$  の関係を示す。ZC-1 の近似直線の傾きは-25, ZC-2 の傾きは-10 だった。よって,ZC-1 と ZC-2 は共にアニオン選択透過性を示す膜であることが判明した。半透膜の近似直線の傾きはほぼ0 で,イオン選択透過性がなかった。また,N-112 の近似直線の傾きは 31 でカチオン選択透過性を示した。よって,この膜電位測定結果が妥当であること,半透膜はイオン選択透過性に影響しないことが確かめられた。これらのことから,水酸化亜鉛と酸化亜鉛の混合物と塩基性塩化亜鉛は,いずれも KCI 水溶液中では,アニオン選択透過性を示すことがわかる。

表1に、Cl⁻の輸率の平均値を示す。なお、酸化鉄(Ⅲ)

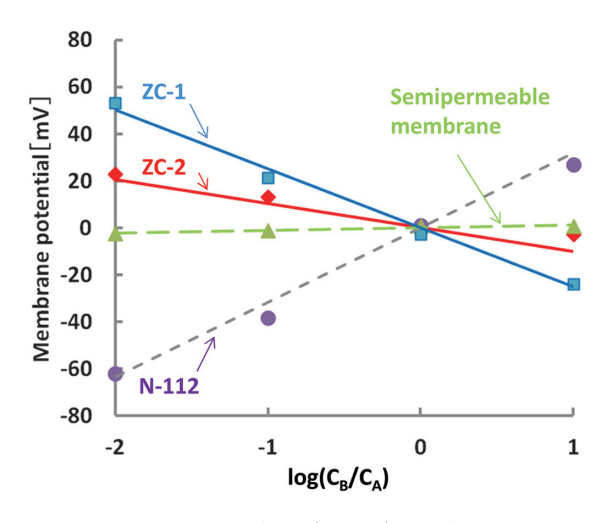


図7 膜電位と  $(C_{\rm B}/C_{\rm A})$  の関係 Relationship between  $(C_{\rm B}/C_{\rm A})$  and membrane potentials

表1 膜の輸率 Transport numbers of films

	Sample name	Transport number of Cl <sup>-</sup> (t <sup>-</sup> )	Ion permselectivity
	Zinc hydroxide and zinc oxide	0.70	Anionic
Samples	(ZC-1)	0.70	Amonic
	Zinc hydroxychloride (ZC-2)	0.58	Anionic
Comparative	Semipermeable membrane	0.49	Unshown
samples	N-112	0.23	Cationic
	Iron (III) oxide 4)	0.96	Anionic

の輸率の文献値も示す <sup>4)</sup>。水酸化亜鉛と酸化亜鉛の混合物の輸率は 0.70,塩基性塩化亜鉛は 0.58であった。塩基性塩化亜鉛は水酸化亜鉛と酸化亜鉛の混合物よりも CI<sup>-</sup>の輸率が小さくアニオン選択透過性が小さいことがわかる。一方,酸化鉄(Ⅲ)の輸率は 0.96 だった。塩基性塩化亜鉛は酸化鉄(Ⅲ)より輸率が小さく CI<sup>-</sup>を通しにくいため,腐食因子の透過に対するバリア効果が高い可能性がある。

今後,塩基性塩化亜鉛の電気抵抗や緻密さ等を解析し, どの特性が最も耐食性に寄与するか明らかにする必要があ る。

#### 4. 結 言

1) 塩基性塩化亜鉛の膜を作製し、その膜電位が測定できた。

2) 塩基性塩化亜鉛の膜はアニオン選択透過性を示し、Cl-の輸率は 0.58 だった。

#### 参照文献

- 1) Kimata, Y., Takahashi, A., Asai, K.: GALVATECH'07, 2007, p. 586
- 2) 松本雅充: 塗装工学. 34(10), 378(1999)
- 森本康秀, 黒崎将夫, 本田和彦, 西村一実, 田中晩, 高橋彰, 新頭英俊: 鉄と鋼。89(1), 161(2003)
- 4) 余村吉則, 坂下雅雄, 佐藤教男: 防食技術. 28, 64 (1979)
- 5)野田和彦,西村俊弥,升田博之,小玉俊明:日本金属学会誌.64(9),767(2000)
- 6) 林公隆, 辻川茂男: 材料と環境. 50(6), 292(2001)



齊藤 完 Mamoru SAITO 鉄鋼研究所 表面処理研究部 千葉県富津市新富20-1 〒293-8511



德田公平 Kohei TOKUDA 鉄鋼研究所 表面処理研究部 主任研究員



下田信之 Nobuyuki SHIMODA 鉄鋼研究所 表面処理研究部 主幹研究員